

ТОРСИОННЫЕ ПОЛЯ И ТОРСИОННЫЕ ТЕХНОЛОГИИ.1

Шипов Г.И.

<http://shipov.com> , <http://shipov-vacuum.com>

Введение

В 1922 г. французский математик Э.Картан выдвинул гипотезу [1], согласно которой пространство вокруг вращающейся материи должно обладать «кручением». Иначе говоря, всем известный нам с детства волчок (при вращении) закручивает вокруг себя пространство, которое, при этом, перестает быть Евклидовым. Чтобы проверить этот вывод, теоретики разных стран разработали теоретическую модель пространства, обладающего не только кривизной (как в теории гравитации Эйнштейна), но кручением [2]. Когда была проведена численная оценка эффекта, вызываемого кручением, то она оказалась ничтожно малой, составляя величину порядка 10^{-60} . Поэтому теоретики многих стран пришли к выводу, что *торсионные эффекты* (от английского слова «torsion» - кручение) в настоящее время в экспериментах невозможно обнаружить.

Этот теоретический вывод был сделан без анализа существующих экспериментальных данных, в которых наблюдаются аномальные явления, порожденные вращающимися материальными объектами. Уже вначале двадцатого века, появились экспериментальные исследования, из которых было видно, что вращающиеся объекты обладают неизвестным науке взаимодействием [3]. К таким взаимодействиям можно отнести относительно простые и наглядные опыты с гироскопическими системами англичанина Э. Лэйтвэйта <http://www.youtube.com/watch?v=g60ZCcquCl8&NR=1>, Н.Козырева [4] и многих других исследователей, в которых наблюдается изменение веса у прецессирующего гироскопа, создание гироскопом тяги и «квантовый» характер его поведения.

В конце 60-х годов прошлого века доцент кафедры теоретической механики Тверского политехнического института Н.В.Филатов *обнаружил нарушение закона сохранения импульса центра масс механики Ньютона*. Он исследовал столкновение (упругий удар) механической системы, состоящей из двух синхронизированных гироскопов с обычной массой [5]. Если после удара возникала прецессия гироскопов, то наблюдалось изменение импульса центра масс всей системы.

Инженером В.Н.Толчиным был изобретен 4D гироскоп [6, 7], который изменяет импульс центра масс изолированной от внешних ньютоновских сил системы под действием сил инерции, искусственно созданных внутри самой системы. Он назвал это устройство «инерциоидом». Работая главным конструктором Пермского машиностроительного завода, В.Н.Толчин изготовил инерциоиды различных типов, ряд характеристик которых приведены в его книге <<Инерциоид, силы инерции как источник движения>> [6].

Автором было показано [8], что механические силы инерции (как и силы инерции во всех других разделах физики) порождаются *торсионным полем*, которое определяется *не через кручение геометрии Римана-Картана* (мнение большинства теоретиков), а через *кручение геометрии абсолютного параллелизма*. Все известные в механике силы инерции (их всего четыре) связаны с вращением материи [9]. Их действие на материальные объекты сравнимы с действием гравитационных сил, а иногда и превосходят их.

Пожалуй, наибольший интерес для прямой проверки гипотезы Картана о существовании торсионного поля (поля инерции) вокруг вращающейся материи представляют собой экс-

перименты профессора Самарского государственного университета путей сообщения, д.т.н. В.Н.Самохвалова <http://www.youtube.com/user/Begemotov?feature=guide> . Для этого была создана вакуумная камера, в которой давление достигало 0,0008 торр. Внутри камеры помещался гироскоп в виде тонкого металлического диска диаметром 165 мм и толщиной 0.9 мм (изготовлен из алюминиевого сплава марки АМг3М), насаженного на ось электродвигателя. Угловая скорость вращения диска составляла 100 –180 1/с. Сверху над диском на расстоянии 1-3 мм помещался точно такой же ведомый диск или диск, изготовленный из пластика или картона (для предотвращения электродинамических эффектов), подвешенный на нитях или насаженный на вал верхнего электромотора. При вращении нижнего (ведущего) диска наблюдается вращение верхнего (ведомого) диска с частотой порядка 10-30 1/с. Анализ многочисленных экспериментов показывает, что за это явление ответственно неизвестное (полевое, но не гравитационное!) взаимодействие. Не гравитационный характер взаимодействия доказывается следующим экспериментом. Над вращающимся с частотой 160 1/с диском помещалась медная пластинка весом 50 г, при этом между диском и пластинкой возникала сила отталкивания порядка 2,5...2,7 Н. Очевидно, что наблюдаемое взаимодействие на много порядков больше силы ньютоновского притяжения системы двух масс - диска и пластинки. Кроме того, мы видим явление отталкивания масс, а не их притяжение, как это должно быть по теории Ньютона.

Согласно теории гравитации Эйнштейна, в локально лоренцовых системах отсчета, таких, как свободно падающий лифт или кабина космической станции на стационарной орбите, локально тела движутся прямолинейно и равномерно. Это действительно наблюдается, если тело движется без вращения. Из космических экспериментов космонавта В. Джанибекова видно, что движение центра масс гироскопа, с не слишком большой угловой скоростью вращения, перестает быть прямолинейным и равномерным <http://www.pravda-tv.ru/2010/11/30/5217> . Новое явление заключается в том, что в невесомости гироскоп постоянно (квантовым образом) меняет направление своей оси вращения через равные промежутки времени. Это открытие, которое было сделано в 1985 г., десять лет скрывалось от научной общественности и только приближение даты 21.12.2012 заставило (интересно, кого?) раскрыть обнаруженный эффект для широкой научной общественности.

Таким образом, аномальные эффекты, как в классической механике, так и в теории гравитации, наблюдаются в гироскопических системах, которые (согласно Э.Картану) вполне *могут быть источником торсионного поля* и в которых мало изученные силы и поля инерции играют определяющую роль.

Даже этот короткий анализ аномальных экспериментов показывает, что такие фундаментальные теории как:

- а) механика Ньютона;
- б) механика вращающегося твердого тела Эйлера;
- в) теории гравитации Ньютона и Эйнштейна,

должны быть пересмотрены на случай, когда мы наблюдаем взаимодействие гироскопических систем между собой или с внешним гравитационным полем. Скорее всего, неучтенным фактором, порождающим аномальные эффекты, является *торсионное поле геометрии абсолютного параллелизма*, которое физически интерпретируется как *поле инерции* [8].

Как известно, все материальные объекты состоят из элементарных частиц, большинство из которых обладает спином – собственным механическим угловым моментом. Проще говоря, все объекты представляют собой сложную систему маленьких гироскопов, которые, к тому же, могут обладать зарядом (например, электрон, протон). Поэтому не удивительно, когда аномальные эффекты наблюдаются не только в механике, но и в электродинамике. Роль полей инерции (и, значит, торсионных полей) в теории элементарных частиц мало беспокоит современных теоретиков. Единственный из известных исследователей американский физик-теоретик А.Пайс, высказался по этому поводу очень точно: « Кроме того, по моему мнению, проблема происхождения полей инерции была и остается *наиболее* темным вопросом в теории частиц и полей» [10]. Действительно, именно в электродинамике при изучении спектров излучения атомных систем, состоящих из элементарных частиц, были обнаружены аномальные эффекты, которые невозможно было объяснить в рамках «классической» электродинамики и для объяснения которых было введено угаданное Э.Шредингером - уравнение Шредингера. Прошло почти 90 лет с тех пор, как на базе уравнения Шредингера была построена новая «квантовая» механика, однако фундаментальное описание квантовых явлений в рамках существующей физики пока не найдена. Исключение составляет теория Физического Вакуума [13].

Самой простой, но известной науке элементарной частицей со спином, является нейтрино. Нейтрино не имеет ни заряда, ни массы (теоретически) и переносит только спин. Нейтрино можно рассматривать как элементарный (безмассовый) полевой гироскоп, с которым связано «первичное» торсионное поле [8]. В теории Физического Вакуума такой объект не имеет энергии, но обладает информацией. Он первым рождается из вакуума и сразу покрывает всю Вселенную, образуя Вселенскую Голограмму, при этом любая малая область Голограммы содержит всю информацию о Вселенной, о ее Прошлом, Настоящем и Будущем. Информационный безэнергетический сигнал в Голограмме не распространяется от точки к точке, подобно волнам на воде, или электромагнитным волнам, а возникает мгновенно в любой точке пространства, если в ней есть «адресный признак» посылаемого сигнала. Сам «адресный признак» генерируется различного уровня Сознаниями, в том числе и сознанием человека.

Человек, как и любой объект во Вселенной, состоит из набора элементарных частиц, большинство из которых представляют собой заряженные гироскопы. Такие гироскопы, как нам известно [11], обладают собственным магнитным моментом и взаимодействуют с внешними магнитными полями. С другой стороны, механический момент элементарной частицы – ее спин, порождает «вторичное» торсионное поле или поле инерции. В результате у нас появилась возможность использовать электромагнитные поля для управления торсионными полями и наоборот.

Это вывод подтверждается многочисленными экспериментами, проведенными с генераторами торсионных полей в различных областях физики, в медицине и психофизике [3]. Возникли не только различные научные направления исследования, но и весьма эффективные торсионные технологии.

1. Торсионная металлургия.

Основная идея работы торсионного генератора ясна из сказанного выше – генератор должен управлять спинами элементарных частиц, используя электромагнитное поле. Простейшим уравнением, которое описывает изменение спина под действием электромагнитного поля, является уравнение Блоха [12]. Для электрона это уравнение записывается как

$$\frac{d\vec{s}}{dt} = -[\vec{\omega}_L \vec{s}], \quad \vec{\omega}_L = \frac{e\vec{H}}{2\mu c}, \quad (1)$$

где ω_L - частота Лармора, \vec{H} - внешнее магнитное поле, e, μ - заряд и масса электрона, $s = \hbar/2$ - спин электрона, c - скорость света. Поскольку величина спина постоянна, то в уравнении (1) изменение внешнего поля \vec{H} приводит к изменению направления спина и угловой скорости его прецессии (частоты Лармора). Поскольку внутри вещества, состоящего из заряженных гироскопов, действуют внутренние электромагнитные поля, то, в отсутствие внешнего электромагнитного поля, естественная прецессия свободных электронов и ядер однозначно определяет структуру данного вещества. Если внешнее электромагнитное поле имеет частоту, совпадающую с естественной частотой Лармора, то наступает резонанс при этом: а) спиновое состояние вещества меняется незначительно и вещество, после окончания воздействия, возвращается в начальное состояние, излучая торсионную волну (спиновое эхо); б) спиновое состояние вещества меняется кардинально, при этом меняются его свойства. Эти два пункта привели к возникновению торсионной металлургии, использующей торсионные генераторы, созданные в соответствии с пунктом а). Торсионное излучение генератора действует на спины ядер расплавленного металла в момент, когда он остывает до твердого состояния, при этом его свойства меняются в соответствии с пунктом б).

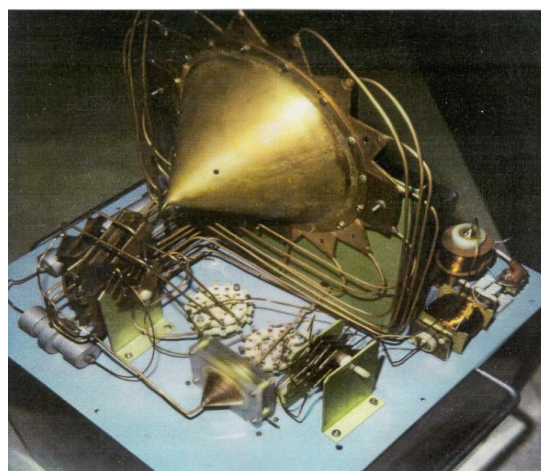


Рис1.

На рис.1 представлен внешний вид и внутреннее устройство одного из торсионных генераторов А.Акимова. Внутри конусной камеры (на рисунке справа) находятся пластины конденсатора, между обкладками которого помещен феррит. На пластины конденсатора подается переменное напряжение от генератора стандартных сигналов с частотой ЯМР, характерной для данного металла. Магнитное поле электромагнитного излучения «раскачивает» спины внутри феррита, создавая торсионное излучение. Конусная камера сделана из бронзы, не имеет отверстий и заземлена, поэтому электромагнитная компонента излучения, возникающего в камере, за пределами камеры либо не наблюдается вообще, либо пренебрежимо мало. Аксиальная компонента (или спиновая волна) торсионного из-

лучения снимается с вершины конуса одним медным проводом и направляется на конусную антенну (особенность торсионного сигнала).



Рис.2.

На рис.2 справа представлена торсионная установка для изменения спиновой структуры металлов. Слева на рис.2 видна плавильная печь и образцы плавок силумина без воздействия (рис.3 слева) и после воздействия (рис.3 справа) излучения торсионного генератора на расплав силумина.

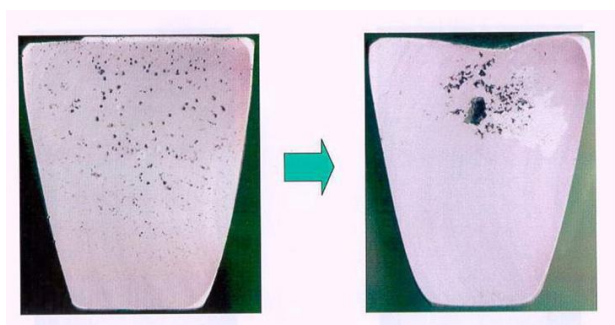


Рис.3.

Без специальных добавок силумин получается пористым и не пригоден для изготовления деталей (рис.3 слева), например, поршней для двигателей автомобилей, самолетов и т.д. Образец справа на рис. 3 однородный и вполне пригоден для промышленного применения, хотя и получен без использования дорогостоящих добавок.

В экспериментах по торсионной металлургии принимали участие ученые и инженеры России, Украины и Южной Кореи. На рис.2 показана торсионная установка Акимова, которая была использована в Южной Корее.

Группой исследователей из Пермского государственного университета под руководством доктора физмат наук, профессора В.Ф.Панова торсионная металлургия была доведена до коммерческого продукта. На Рис. 4 слева показана торсионная установка,

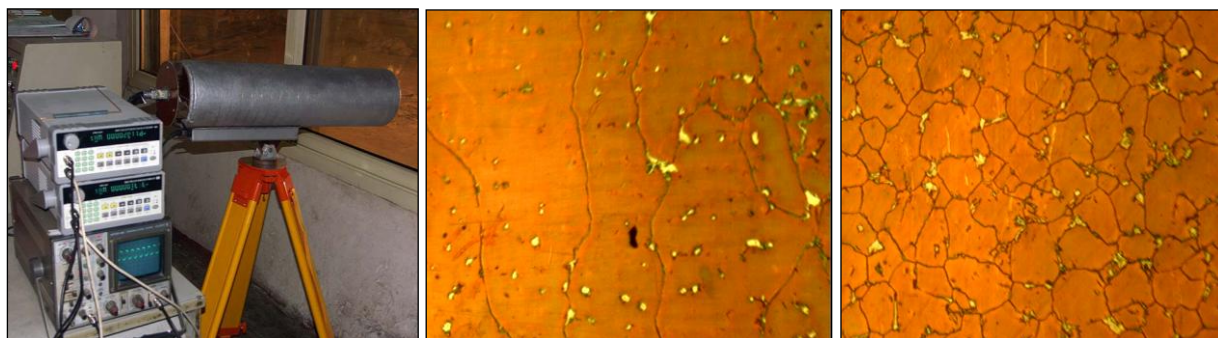


Рис.4

которая была использована в коммерческих плавках группой В.Ф.Панова. Справа два образца выплавленной стали до обработки генератором (в центре) и после обработки (справа) торсионным генератором <http://second-physics.ru/moscow2012/moscow2012.pdf> . На снимках видно, что у обработанного торсионным излучением металла наблюдается измельчение зерна, что приводит к увеличению пластичности и твердости металла одновременно.

В работах группы В.Ф.Панова использовался торсионный генератор Курапова, потреблявший всего 50 Вт электроэнергии, при этом количество выплавленного металла с новыми свойствами изменялось от 70 г. до 400 тонн! С использованием торсионной технологии (в течение 2001-2009 г.) на металлургических предприятиях Перми, Тулы, Орска и др. было выплавлено 9500 тонн металла. Образцы выплавленного металла исследовались в Физико-техническом институте УрО РАН (г. Ижевск), в Институте машиноведения УрО РАН (г. Екатеринбург), во ФГУП «Центр порошкового материаловедения» (г.Пермь) др.

Применение торсионной технологии в металлургии позволяет:

- избежать затрат на термообработку и гомогенизацию;
- сократить время плавки;
- уменьшить количество брака за счет повышения литейных свойств стали;
- получить простые стали с характеристиками легированных;
- экономить электроэнергию и газ;
- высвободить производственные площади;
- в некоторых случаях уменьшить себестоимость продукции до 2 раз;
- сократить производственный процесс;
- увеличить конкурентоспособность продукта.

Очевидно, что торсионная металлургия вполне может быть использована в промышленных масштабах и приносить огромную прибыль для государства. Однако, как показала практика, преимущества новой технологии «не понравились» конкурентам. Поэтому, пока, плавки идут по старой более дорогой, но зато «проверенной» технологии.

2. Вакуумно-торсионная энергетика.

Из квантовой теории нам известно, что Физический Вакуум, хотя и является (в среднем) «пустотой», обладает в каждой его точке «почти бесконечной» энергией. Разные теории и методы расчета дают разные оценки этой энергии. Если бы у нас был инструмент, кото

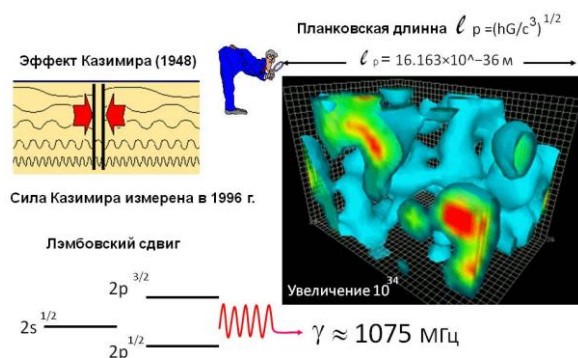


Рис.5.

рый способен увеличивать объекты в 10^{34} раз, то мы бы увидели картину, изображенную на рис. 5 справа. На планковских расстояниях порядка 10^{-36} м мы увидим флуктуации энергии Физического Вакуума, которые представляют собой виртуальные квантовые частицы, спонтанно рождаемые Физическим Вакуумом. Эта энергия способна взаимодействовать не только с другими квантовыми системами, но, как оказалось, и с макроскопическими объектами. На рис.5 слева вверху представлены две металлические пластины, помещенные в вакуум. Флуктуации вакуумных фотонов будут создавать давление как внутри пластин (в меньшей степени) так и снаружи (гораздо сильнее). В результате между пластинами возникнет сила притяжения, (эффект Казимира) которая была теоретически рассчитана и экспериментально подтверждена. На рис.5 слева внизу представлен рисунок, который объясняет наблюдаемый сдвиг энергетических уровней атома водорода под действием флуктуаций Физического Вакуума (лэмбовский сдвиг). Этот эффект наблюдается как результат поглощения и излучения атомом водорода вакуумных фотонов с частотой 1075 МГц. Интересно отметить, что любой атом нашего тела, да и всех других объектов, состоящих из атомов, постоянно получает энергетическую подпитку через флуктуации Физического Вакуума.

У нас в России и в других странах существуют научные коллективы, которые пытаются построить энергетические установки, способные использовать энергию вакуумных флуктуаций. Однако, как это часто бывает, первую широко известную в мире вакуумную установку, «берущую» энергию из Физического Вакуума, создал швейцарец Пауль Бауман, человек далекий от науки, но талантливый изобретатель. На рис. 6 представлен один из многочисленных вариантов генератора Баумана. В середине установки виден вращающийся диск (их два), которые первоначально запускаются вручную и, затем, постоянно

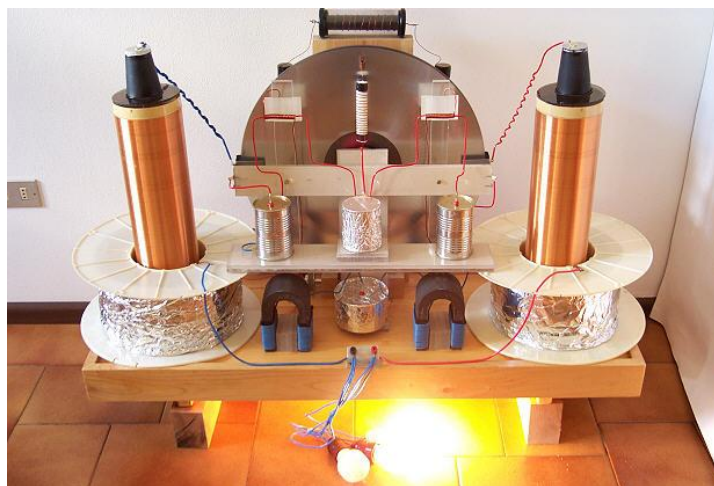


Рис.6.

вращаются, при этом к выходным клеммам установки постоянно подключена нагрузка. На рис. 6 в качестве нагрузки используются лампы освещения общей мощностью 200 Вт. П.Бауман является основателем религиозной общины Methernita, которая построила несколько таких установок мощностью от 100 Вт до 30 КВт. Общая мощность всех установок составляет 750 КВт <http://www.macmep.ru/testatika/testatika.htm> . Община построила

в местечке Линден в Швейцарии ряд отелей, которые, начиная с 1980 г., отепляются и освещаются только за счет энергии Физического Вакуума. Казалось бы, чего проще, взять энергетическим корпорациям, да использовать изобретение П.Баумана для создания нового эффективного источника энергии, а не качать нефть и газ из недр Земли. Однако этого не происходит по двум причинам:

а) религиозная община скрывает секрет изготовления своего устройства, считая, что в случае передачи принципов работы устройства, оно будет использовано во вред человечеству (например, в военных целях);

б) существуют и другие работающие вакуумные установки, например установка Тариэла Капанадзе <http://life.netimperia.com/2010/04/11/free-energy-tariel-kapanadze-gen/>, установка группы исследователей из Одессы <http://www.youtube.com/watch?v=mgYpwQM2U34> и т.д., однако энергетические корпорации не спешат использовать эти изобретения в качестве коммерческого продукта (понятно, почему).

Генератор подобного типа впервые, видимо, был создан Николой Тесла в качестве источника электроэнергии в автомобиле в 1931 г. Он снял бензиновый двигатель с нового автомобиля фирмы «Pierce –Arrow» и заменил его электромотором переменного тока мощностью 80 л.с. без каких-либо традиционных источников питания. Затем Н.Тесла по неизвестной ранее схеме собрал генератор и поместил его в коробку длиной 60 см., шириной 30 см. и высотой 15 см с парой стержней длиной 7.5 см. торчащих снаружи. Установив коробочку сзади за сиденьем водителя, он выдвинул стержни, сказав при этом «Теперь у нас есть энергия». После этого он ездил на машине в течение недели со скоростью до 150 км/ч. Источник - газета «Даллас, утренние новости, рубрика Словесные портреты штата Техас», статья F.C. Greene «Источник энергии триумфального электрического автомобиля все еще остается тайной», 24 января 1935 г.

Интересно отметить, что П.Бауман и Т. Капанадзе оба заявляют, что они повторили генератор Тесла, но каждый по-своему. Общим для всех генераторов оказывается переменный ток, высокое напряжение, высокая частота и разрядник или ассиметричный конденсатор.

Сам Н.Тесла неоднократно утверждал, что в работе его знаменитых устройств по передаче энергии без проводов и по одному проводу участвует Физический Вакуум, который до 1905 г. физики называли эфиром. Он не был согласен с А.Эйнштейном, когда, после создания специальной теории относительности, великий ученый отказался от эфира. Однако, спустя 15 лет, А.Эйнштейн вновь вернулся к эфиру, рассматривая его на новом более высоком уровне как «пустое», но искривленное пространство-время, обладающее упругими свойствами.

Участие структуры пространства в электродинамических экспериментах Тесла наиболее четко прослеживается в излучении сферы, которую можно рассматривать как ассиметричный конденсатор. В самом деле, емкость сферического конденсатора вычисляется по формуле $C = 4\pi\epsilon_0\epsilon_r R_1 R_2 / (R_1 + R_2)$, где R_1 - радиус внутренней обкладки, R_2 - радиус внешней обкладки, ϵ_0 - диэлектрическая проницаемость вакуума (эфира во времена Тесла), ϵ_r - диэлектрическая проницаемость среды между обкладками в пределе $R_2 \rightarrow \infty$,

мы получаем $C = 4\pi\epsilon_0\epsilon_r R_1$ или $C = 4\pi\epsilon_0 R_1$, $\epsilon_r = 1$ в вакууме. Математике известна геометрия, в которой бесконечно удаленные точки ведут себя наравне с конечными. Такой геометрией является комплексная плоскость Арганда, на которой действуют дробно-линейные преобразования Мебиуса [13]. Часть преобразований Мебиуса составляют инверсии $f_4(z) = 1/z$. Именно инверсии позволяют «вывернуть» плоскость Арганда $z = x + iy$ «наизнанку», при этом получается плоскость Арганда $w = u + iv$, на которой прямые плоскости z выглядят как окружности. Самым удивительным фактом в математике на аргандовой плоскости является возможность деления конечных чисел на ноль. Действительно, при обратной инверсии $w = 1/z$ точке $z = 0$ соответствует бесконечность ∞_w плоскости w и наоборот. Преобразования Мебиуса комплексной плоскости Арганда позволяют рассматривать бесконечность как «изнанку» нуля, а ноль как «изнанку» бесконечности, а саму бесконечность наравне с обычной конечной точкой. Плоскость Арганда связана со спинорной структурой пространства [14], а электроны и позитроны описываются современной физикой с помощью спиноров. Кроме того, «двухлистность» плоскости Арганда позволяет описывать спинорные частицы – электроны на листе z , а соответствующие им античастицы – позитроны появляются на ее «изнанке» w . Поэтому, если мы зарядили центральную сферу электронами, то на второй обложке, возможно, мы имеем позитроны, обладающие (согласно теории Дирака) отрицательной энергией. В этом случае появляется возможность черпать энергию из резервуара отрицательной энергии, т.е. создать вечный двигатель второго рода. Предложенная модель дает научное объяснение работы генератора Тесла на макроуровне, что до сих пор было возможно только на микроуровне. Трехмерная часть спинора Дирака связана со спином в уравнения Блоха (1), поэтому получение энергии из вакуума в генераторе Тесла относится к разряду торсионных технологий. На рис. 7 (слева) изображена заряженная сфера и ее

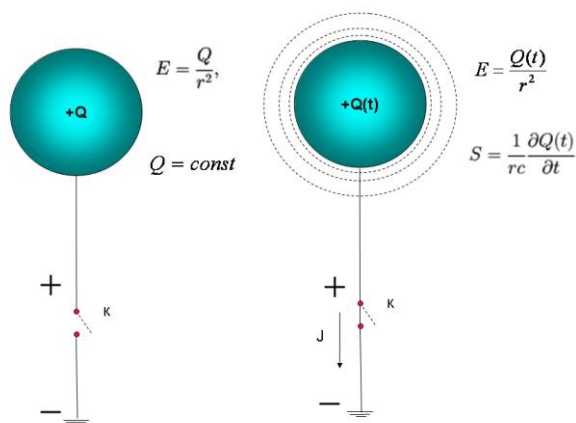


Рис.7.

кулоновское поле вне сферы. Когда ключ K замыкается и возникает разряд сферы на землю, возникает дополнительно скалярное поле $S = 1/rc \cdot \partial Q(t)/\partial t$, которое порождает «продольную» магнитную силу $\vec{F}_m = eS\vec{v}/c$ [15], действующую на заряд. Эта сила дейст-

вует в системах с переменной плотностью зарядов (например, в конденсаторах) и экспериментально (в наше время) обнаружена в экспериментах Г. Николаева [16].

Впервые скалярное излучение в электродинамике обнаружил Н.Тесла, когда он (чисто интуитивно) создал установку по беспроводной передаче электроэнергии [17]. На рис. 8 изображена репликация установки Тесла. Из формулы на рисунке видно, что скалярное

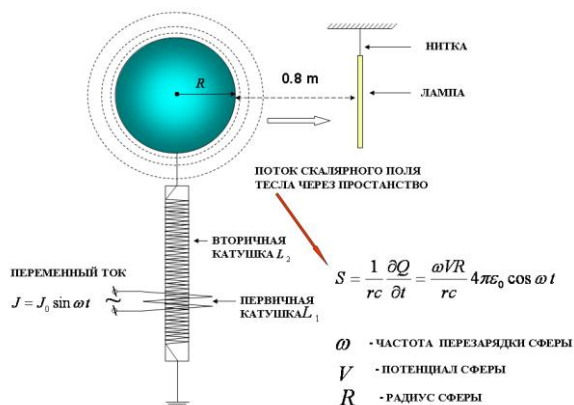


Рис.8.

поле S становится значительным при большой частоте ω , высоком потенциале V и большом радиусе сферы R , что и было использовано в установках Н. Тесла. На рис. 9



Рис.9.

представлена установка, созданная автором в лаборатории фонда Эйнштейна-Тесла в Таиланде (г. Бангкок). Установка демонстрирует технологию Тесла по передаче электроэнергии без проводов.

3. Торсионный транспорт.

В теории Физического Вакуума [8] была получена формула, которая обобщает формулу Эйнштейна $E = mc^2$. Дело в том, что все материальные объекты, как было сказано выше, состоят из элементарных частиц, которые подобны маленьким гироскопом. От того,

как вращаются эти гироскопы внутри объекта, зависит его масса покоя. Поэтому, вместо формулы Эйнштейна, мы имеем

$$E = m(\omega)c^2. \quad (2)$$

Эта формула символически описывает зависимость массы покоя от вращения составляющих ее частиц. Управляя вращением гироскопов внутри массы, можно изменить ее величину и, следовательно, вес тела. Именно так можно объяснить зависимость веса гироскопа от величины его прецессии в экспериментах Э. Лэйтвэйта, Н. Козырева и М.Лобовой <http://www.einsteinandtesla.com/publications.html> .



Рис.10.

На рис.10 представлен эксперимент М.Лобовой по взвешиванию прецессирующего гироскопа на весах, точность которых $\pm 0,01$ г. Слева мы видим вес не вращающегося гироскопа вместе с подставкой. На правой тот же гироскоп на той же подставке, но в момент прецессии. Для исключения аэродинамических эффектов гироскоп взвешивается в стеклянной камере. По показаниям весов видно, что прецессирующий гироскоп теряет в весе $0.15 \pm 0,01$ г .

Давид Хадсон ,будучи фермером, обнаружил на своем поле «белый порошок», который, после изучения в научных лабораториях разных стран, был назван «многоатомное золото» <http://www.glubinnaya.info/science/ormes/hudson.htm> . При нагревании этот порошок теряет в весе почти полностью и здесь, скорее всего, не обошлось без гироскопических эффектов. Поскольку микрогироскопы внутри тел заряжены, то, используя электромагнитные поля, можно действовать на них электромагнитными полями. При этом меняется суммарный гироскопический момент тела и оно будет терять вес, как в экспериментах Д. Хатчисона http://www.youtube.com/watch?v=WK-BziiId_0 и российского изобретателя В. Писанского <http://www.youtube.com/watch?v=9BQ2DiVzCeg> .

Природа любит пошутить над ученым миром, преподнося ему, время от времени, неожиданные открытия, сделанные людьми, далекими от науки. Вот и Томас Браун, будучи подростком (ему было тогда 15 лет), в 1920 г. случайно обнаружил движение подвешенной на нитях рентгеновской трубки Кулиджа . При подаче на трубку высоковольтного по-

стоянного напряжения порядка 30 КВт, она начинала двигаться. Трубка Кулиджа представляет собой стеклянный сосуд, заполненный техническим вакуумом, внутри которого расположен катод и анод. Катод подогревался вольфрамовой нитью и служил источником свободных электронов, которые ускорялись в направлении анода и, при попадании в него, тормозились, вызывая рентгеновское излучение. Каждый раз, когда к трубке подключалось высоковольтное напряжение, трубка начинала двигаться в сторону положительно заряженного электрода и отклонялась от вертикального положения, преодолевая силу гравитационного притяжения. Поэтому, Т. Браун назвал позже этот эффект электрогравитационным [18]. В этом случае, очевидно,



Рис.11.

не выполняется третий закон механики Ньютона, поскольку при разгоне электронов конденсатор должен двигаться в обратную сторону. Единственными силами, которые не удовлетворяют третьему закону механики Ньютона, являются (электромагнитные?) силы инерции, порожденные торсионными полями. Поэтому не исключено, что электромагнитные силы инерции как раз и оказываются источником механического движения двигателя Брауна. На рис. 10 представлена простейшая модель двигателя Брауна. На сайте <http://www.youtube.com/watch?v=71v5sFu7LT8&feature=related> можно увидеть фильм, демонстрирующий антигравитационный эффект, произведенный моделью двигателя Брауна. В настоящее время работы по развитию двигателя Брауна ведутся во многих странах мира, включая Россию. Об этих работах можно узнать и увидеть видеофильм на сайте <http://www.youtube.com/watch?v=YMzDaD3-jQE>.

В 60-е годы прошлого столетия в России по телевидению и в прессе шло бурное обсуждение работ инженера из г. Перми В.Н. Толчина, который создал устройство, демонстрирующее нарушение третьего закона механики Ньютона – закона равенства действия и противодействия. Закон механики Ньютона сформулированы в евклидовом пространстве и проверены многочисленными опытами для тел, которые движутся без вращения. Если тело вращается, то, в соответствии с гипотезой Э. Каргана [1], пространство перестает быть евклидовым и имеет отличное от нуля кручение. Это приводит к нарушению законов сохранения механики Ньютона, что и наблюдается в экспериментах с гироскопическими системами, о которых мы говорили в начале статьи во введении. Кроме того, формула $E = m(\omega)c^2$ говорит о том, что управляя частотой вращения внутри системы, можно ме-

нять ее массу, т.е. двигаться в космосе совершенно новым способом, не используя реактивный двигатель.

Инерциод Толчина [6] как раз и представляет такую механическую систему, которая движется за счет управления кривизной и кручением пространства (или полями и силами инерции, создаваемыми искусственным образом внутри самой системы) [7].



Рис.12.

На рис. 11 представлены модели 4D гироскопов, которые движутся под действием управляемой пространственно-временной прецессии [7]. Слева небольшой 4D гироскоп расположен внутри корпуса лодки. Сама лодка подвешена к тележке, которая движется по установленным сверху горизонтально рельсам. Когда 4D гироскоп внутри лодки начинает работать (в качестве источника энергии используется батарейка), то он создает тягу, которая через подвесы тянет тележку вверх. В результате тележка перемещается по рельсам.

Этот эксперимент был предложен автору известным теоретиком, учеником де Бройля, Жаном Поль Вижье, при этом он заметил, что в случае положительного результата *придется переписывать учебники по классической механике*. Движение лодки можно увидеть в фильме «Универсальный движитель» на сайте автора <http://shipov-vacuum.com>. На рис. 11 справа представлена модель 4D гироскопа, управляемая с помощью компьютера, при этом его корпус и, соответственно, его центр масс движется только вперед. В фильме http://www.youtube.com/watch?v=SXOKT3_SPS0 можно увидеть движение 4D гироскопа только вперед по стеклу, смазанному маслом. Это эксперимент полностью отвергает гипотезу оппонентов о том, что движение происходит за счет сил трения, поскольку при движении только вперед (при свободно вращающихся колесах) силы трения всегда тор-

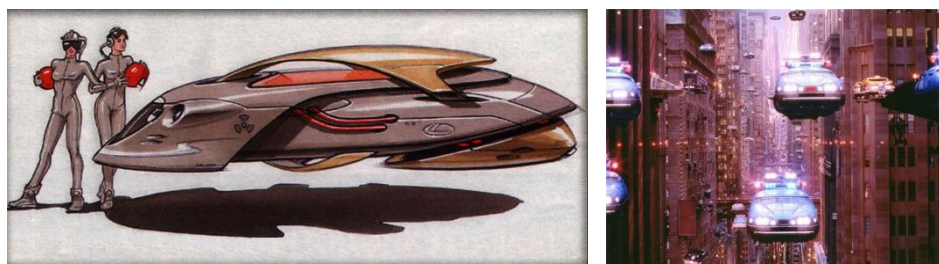


Рис.13.

мозят движение. Вся эта работа была проделана в Таиланде в 2000 г. Конечной целью было создание летающего автомобиля (см. рис.13), однако такая задача потребовала огромных финансовых вложений, что оказалось нашим спонсорам не по плечу.

В 2001 г. я написал для Научно-исследовательского института Космических Систем, которым в то время руководил В.Меньшиков, научный отчет о работе с 4D гироскопами, проделанной в Таиланде. До этого в НИИКС исследовался аппарат С.Полякова, который при его весе в 40 кг. (во время работы) устойчиво терял в весе 80 гр. В качестве рабочего тела в аппарате Полякова использовалась ртуть, которая, как известно, очень вредно влияет на здоровье человека. Поэтому было принято решение перейти на исследование аппаратов, подобных 4D гироскопам. В мае 2008 г. такой аппарат, под условным названием «гравипапа», был запущен в космос на спутнике под названием «Юбилейный». Сообщение об этом можно посмотреть в фильме, который был показан по телевизионному каналу «Россия 24» <http://www.youtube.com/watch?v=Y4ezWDXRA4w>.

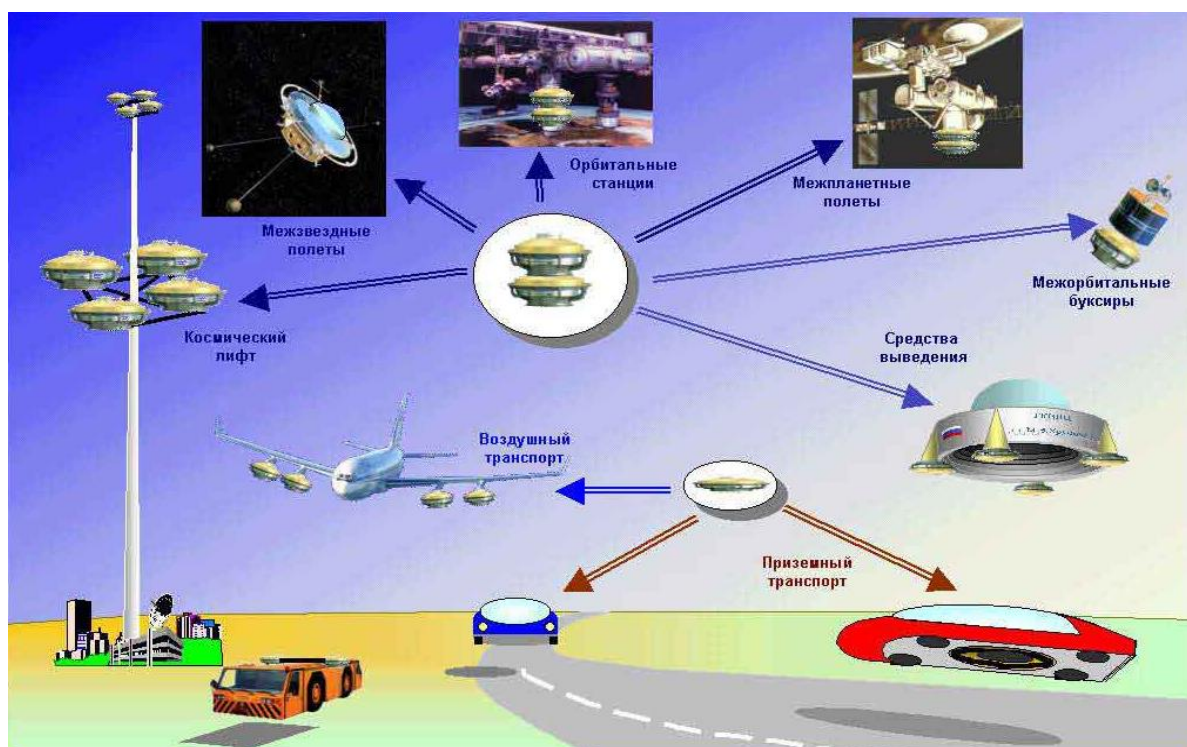


Рис.14.

На рис.14 представлены наглядно области применения нового типа двигателя, правда на рисунке не показана возможность использовать этот же двигатель для передвижения по воде и под водой.

Теоретически торсионный двигатель, способный управлять геометрией пространства-времени, впервые был предложен английским теоретиком М.Алькубьерре [19]. Однако реальное воплощение этой идеи демонстрируют эксперименты с 4D гироскопами [7], релятивистское описание которых основано на уравнениях Физического Вакуума [8]. Точное решение этих уравнений с параметром вращения ω , отличным от нуля, порождает в псевдоевклидовой геометрии «кротовые норы» [20], двигаясь по которым космический

аппарат, создающий мощные локальные торсионные поля, может быстро перемещаться даже в удаленные области Вселенной. Конечно, торсионные двигатели для своей работы будут использовать энергию Физического Вакуума, которая есть везде и всегда.

Заключение

Еще 20 лет назад Анатолий Евгеньевич Акимов в своих выступлениях постоянно отмечал, что развитие в России эффективных торсионных технологий позволит ей занять ведущее место в мире во всех областях науки и промышленности. Сегодня мы слышим с высоких трибун обращение к ученым и изобретателям, в которых звучат призывы как можно активнее внедрять новые достижения науки и техники, с тем, чтобы выпускать конкурентно способную продукцию, как необходимое условие выживания в современном мире. Однако между теми, кто призывает, и теми, кто уже имеет достижения, превосходящие мировой уровень, стоит «научный бюрократ», который предпочитает не рисковать и, поэтому, обрекает Россию плестись за достижениями Западной науки и техники. Они считают, что прорыв физике следует ожидать в теории элементарных частиц или в астрофизике. В этих областях физики используются дорогостоящие научные программы и приборы, которые отдельные государства даже не в состоянии реализовать. Мало кто обращает внимание на уже существующие торсионные эксперименты и технологии, полученные группами людей или отдельными людьми, в обычных лабораторных условиях и при относительно малых материальных затратах. В последнее время количество торсионных экспериментов и технологий («аномальных» с позиций современной научной парадигмы) все возрастает и их замалчивание официальной наукой вызывает недоумение и сожаление.

21.12.2012.

Литература

1. *Cartan E.* // Compt. Rend.1922. Vol. 174, p. 437.
2. *Обухов Ю.Н., Пронин П.И.* //Физические эффекты в теории гравитации с кручением. Итоги науки и техники, сер. Классическая теория поля и теория гравитации. Т.2. Гравитация и космология. М., ВИНТИ, 1991, с.112.
3. *Акимов А.Е.* // Эвристическое обсуждение проблемы поиска новых дальнодействий. EGS – концепции. М., МНТЦ ВЕНТ, 1991, препринт №7А, с.63.
4. *Козырев Н.А.*// Избранные труды. - Л.: Изд-во Ленингр. Ун-та, 1991.
5. *Филатов Н.В.* // Исследование удара тел с большими кинетическими моментами.: Письмо Н.В. Филатова к Чичерину В.Г. 08.07. 1969.
6. *Толчин В.Н.* Инерциоид, силы инерции как источник движения, Пермь, 1977.
7. *Шипов Г.И.*// 4D гироскоп в механике Декарта. Кирилица, 2006, с. 74
http://www.shipov.com/files/021209_tolchdescart.pdf
8. *Шипов Г.И.* Теория физического вакуума, теория эксперименты и технологии. М., Наука, 1997, с. 450.
9. *Ольховский И.И.* Курс теоретической механики для физиков. М.: Наука, 1970.
10. *Пайс А.* // Научная деятельность и жизнь Альберта Эйнштейна. М.: Наука, 1989. 280 с.
11. *Блохинцев Д.И.*// Основы квантовой механики, М.: «Высшая школа», 1963.
12. *Bloch F.*// Physics Review. 1946, **70**, P. 460-473.

13. Шипов Г.И. // Об экспериментальном измерении волновой функции квантовой механики. <http://www.trinitas.ru/rus/doc/0016/001c/00161635.htm> .
14. Пенроуз Р., Риндлер В. // Спиноры и пространство-время. Т.1. М.: Мир, 1987.
15. Шипов Г.И. // Почему надо переписывать учебники по классической электродинамике. <http://www.trinitas.ru/rus/doc/0231/008a/02311111.htm> .
16. Николаев Г.В. // Скалярное магнитное поле. Томск. 1997. С. 23.
17. Tesla N. // "The True Wireless". Electrical Experimenter (May 1919).
18. Brown, T. T. // How I control gravity, «Science and Information Magazine», Aug. 1929. Reprinted in «Psychic Observer», 37 (1): 66-67.
19. Alcubierre, M. "The warp drive: hyper-fast travel within general relativity". *Class. Quant. Grav.* Vol.11. L73–L77. (1994).
20. Кречет В.Г. // Grav. and Cosmology, № 4, 2007.